

1/29

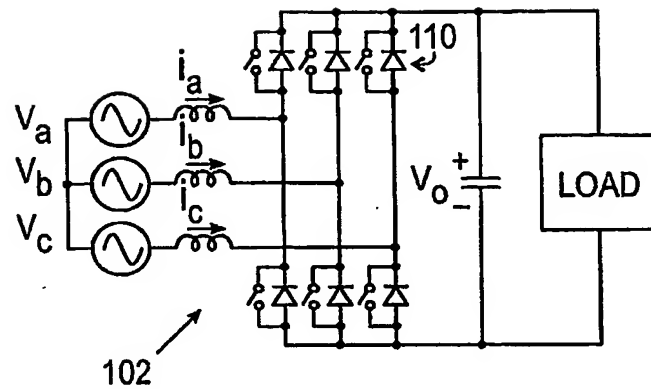


FIG. 1A

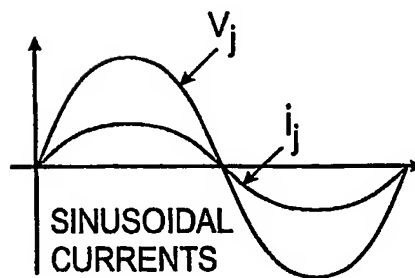
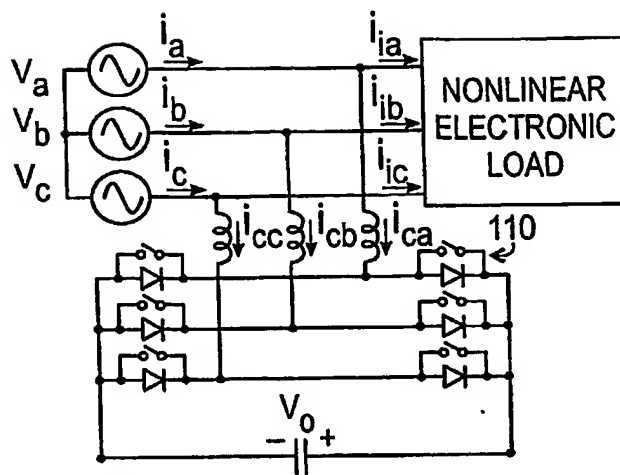
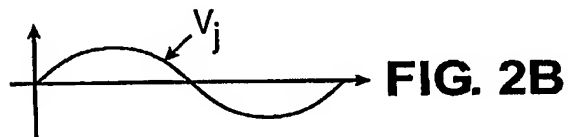
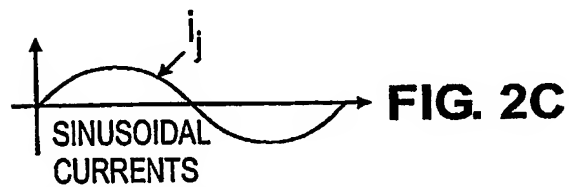
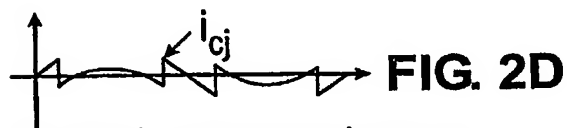
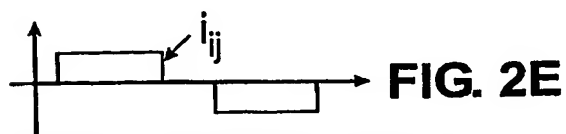
WHERE j DENOTES a, b AND c

FIG. 1B

2/29



104

FIG. 2A**FIG. 2B**WHERE j DENOTES a, b AND c **FIG. 2C**WHERE j DENOTES a, b AND c **FIG. 2D**WHERE j DENOTES a, b AND c **FIG. 2E**WHERE j DENOTES a, b AND c

3/29

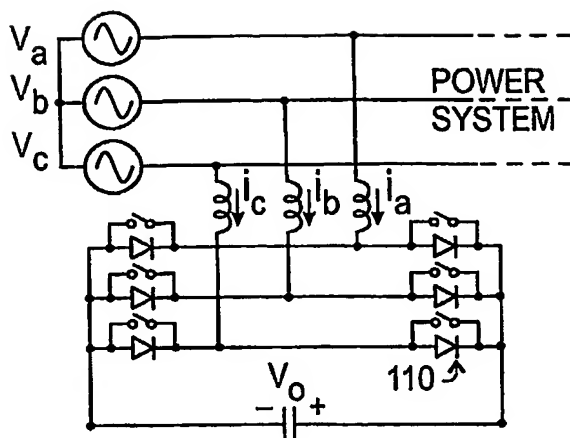


FIG. 3A

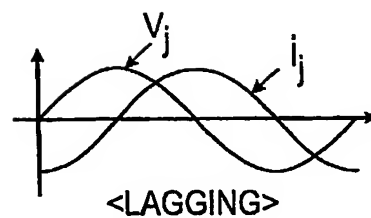
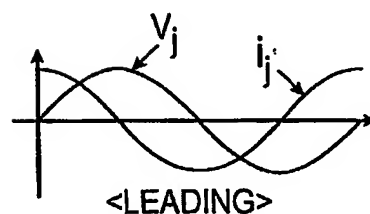


FIG. 3B



WHERE j DENOTES a , b AND c

FIG. 3C

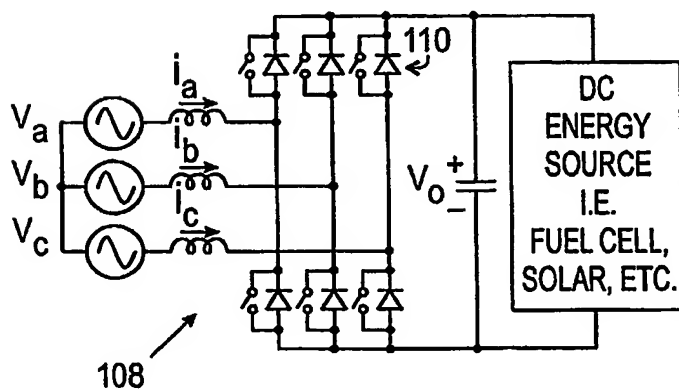
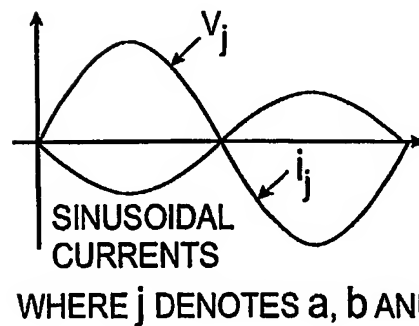


FIG. 4A



WHERE j DENOTES a , b AND c

FIG. 4B

4/29

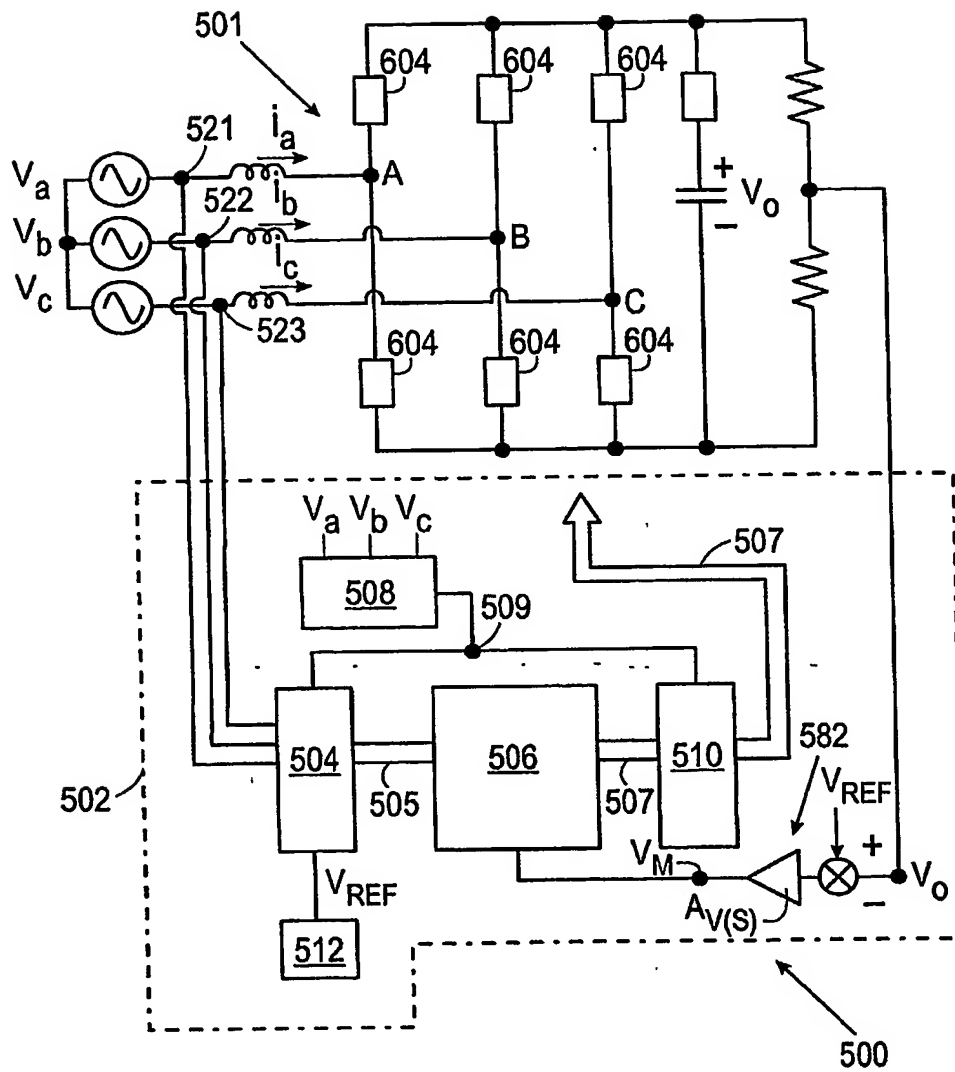


FIG. 5

5/29

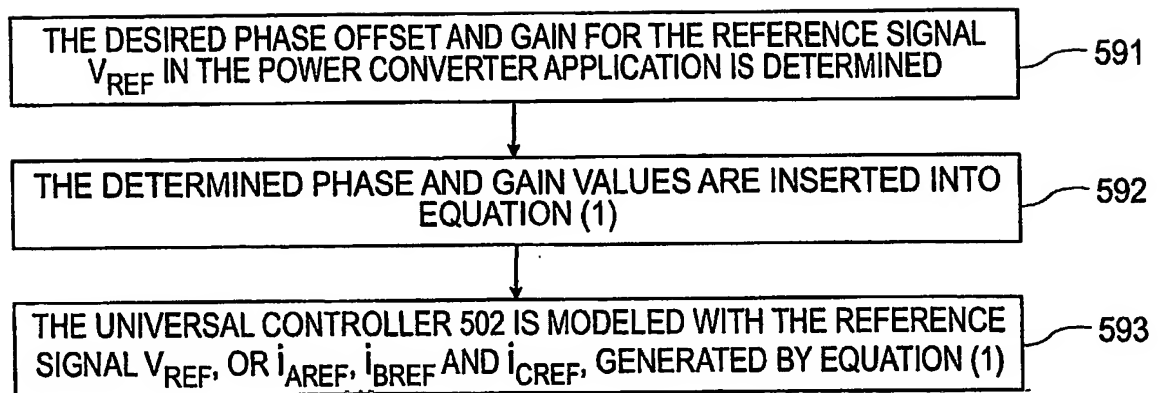


FIG. 6

6/29

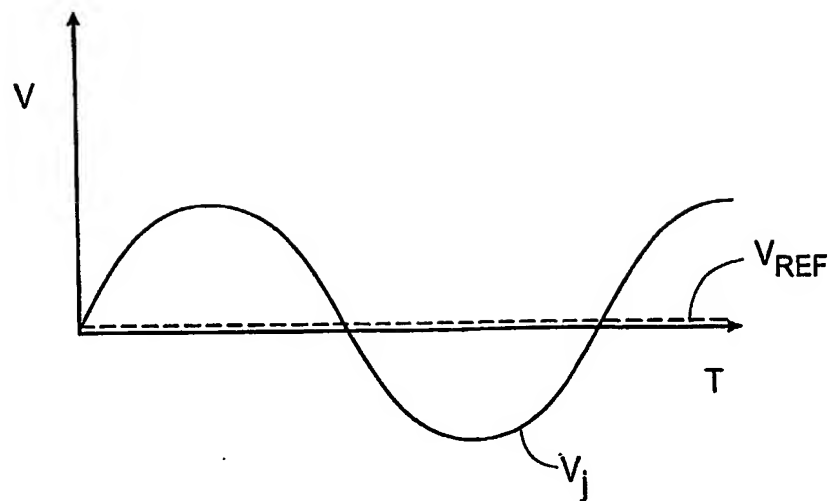


FIG. 7A

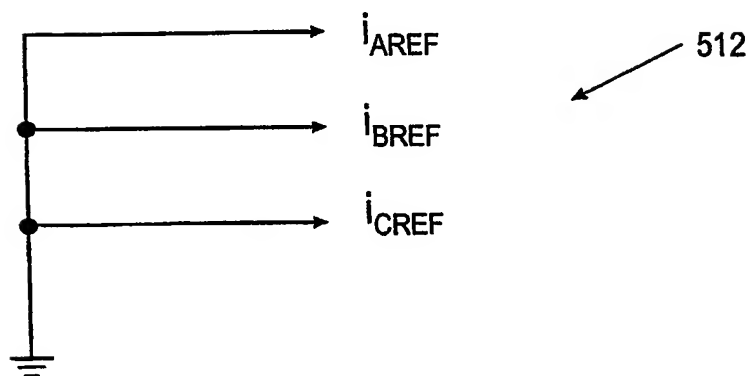


FIG. 7B

7/29

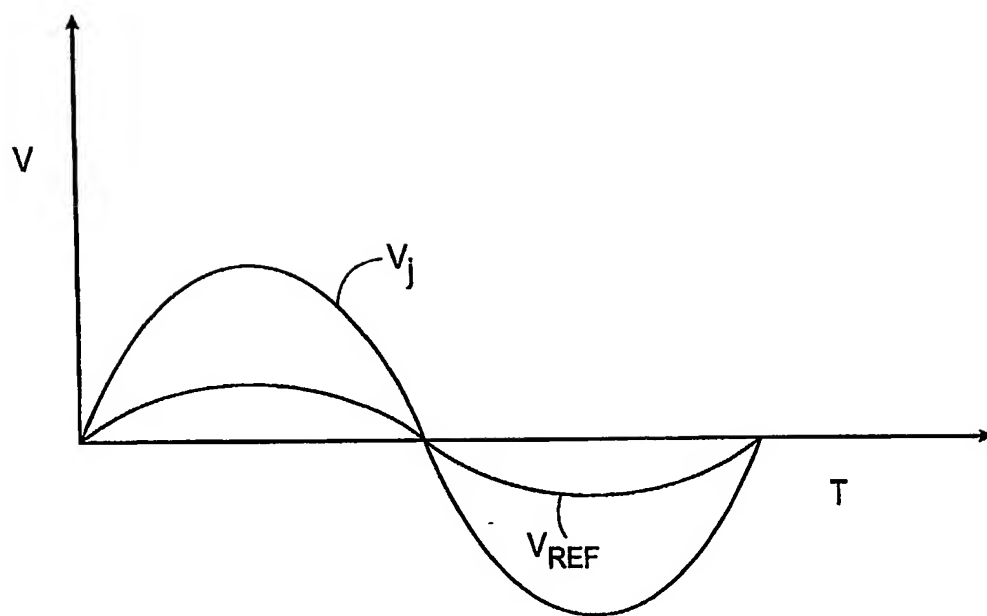
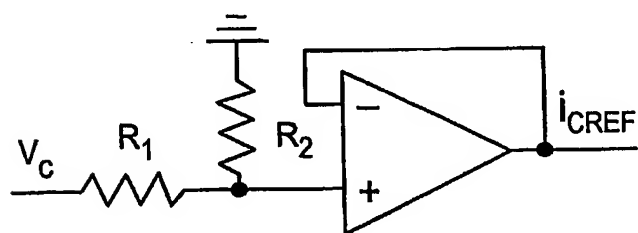
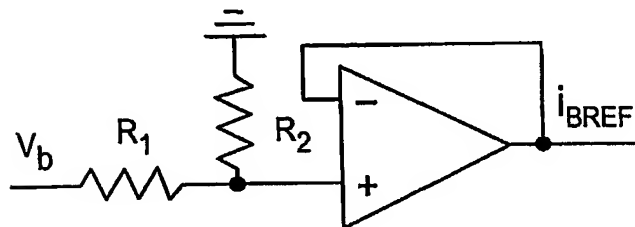
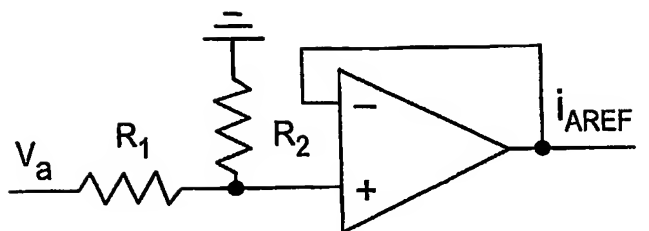


FIG. 8A

8/29



512

FIG. 8B

9/29

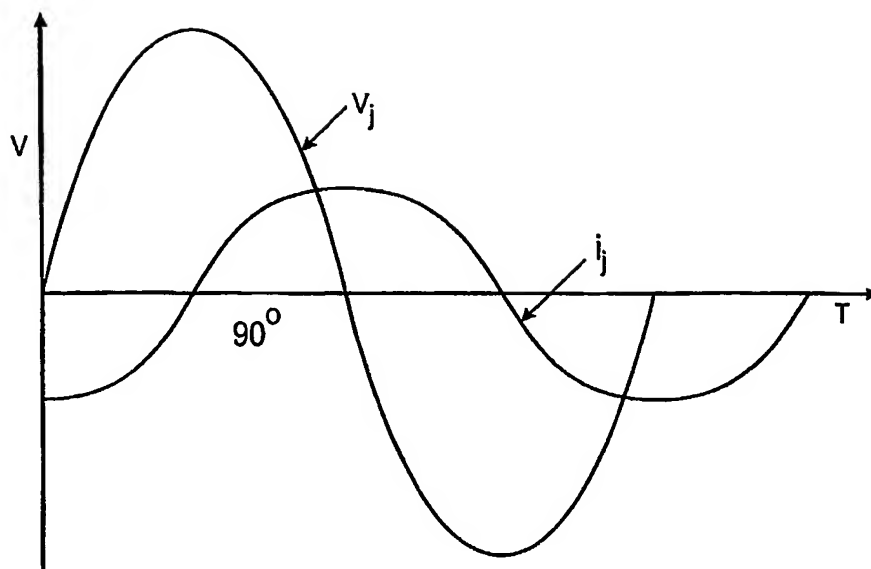


FIG. 9A

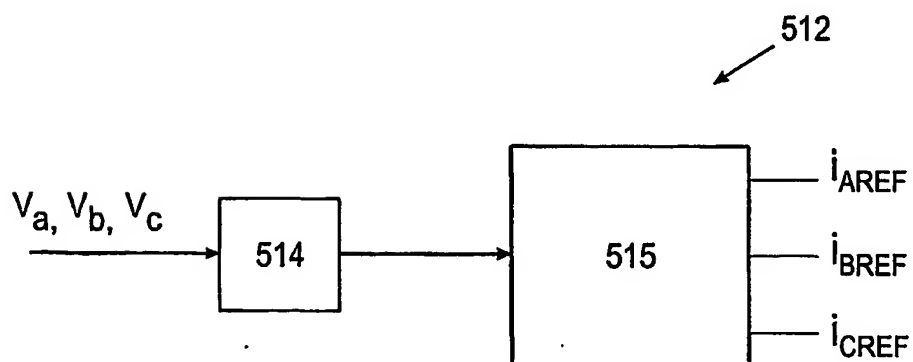


FIG. 9B

10/29

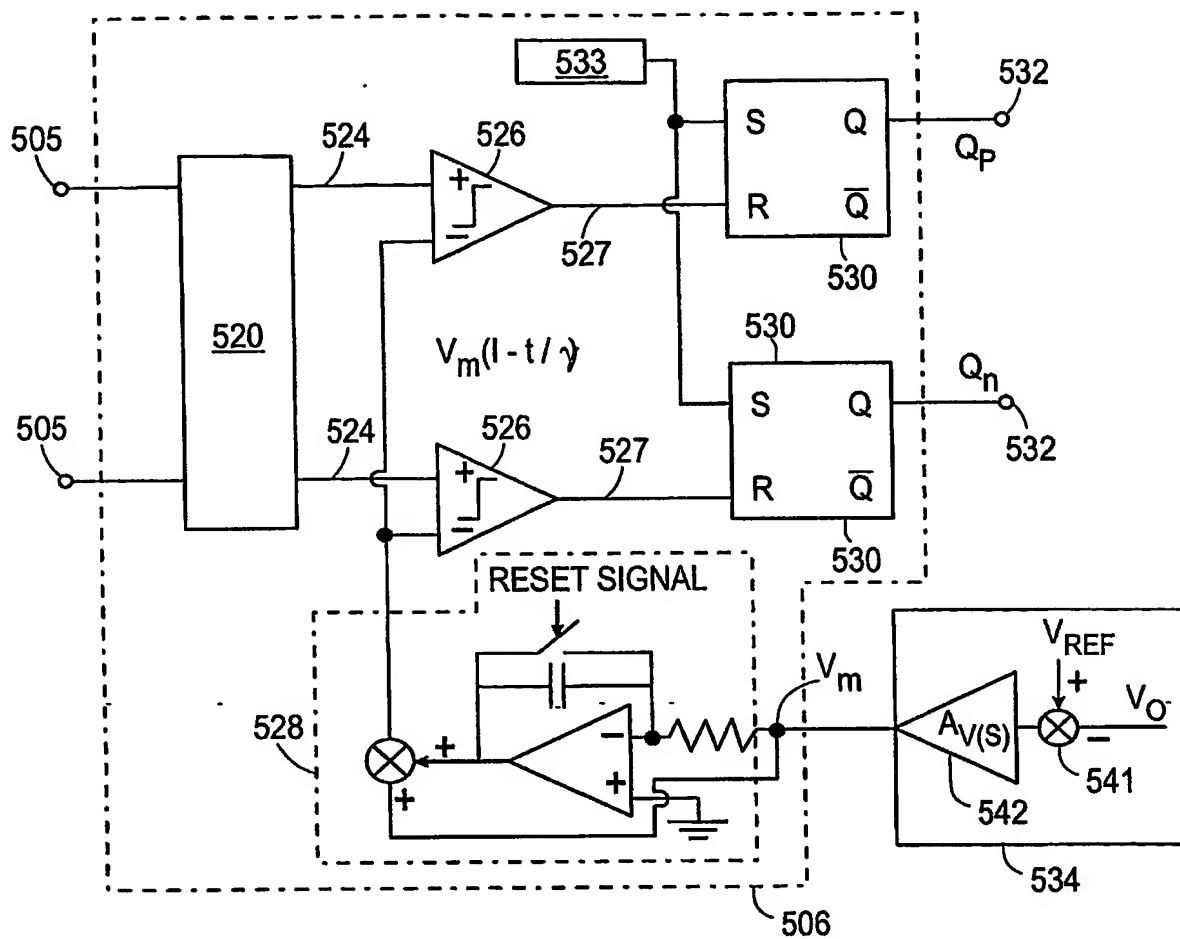


FIG. 10

11/29

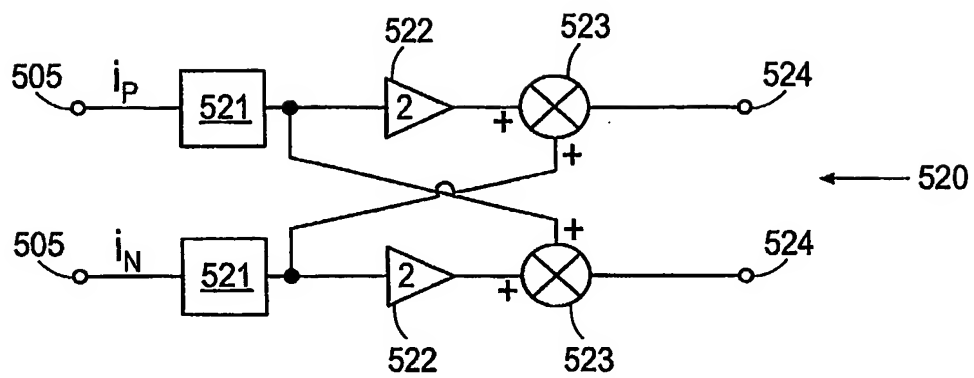


FIG. 11A

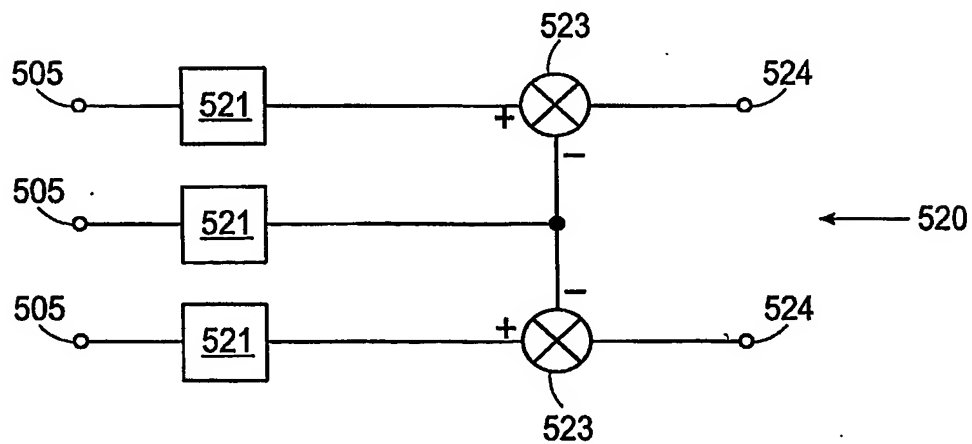


FIG. 11B

12/29

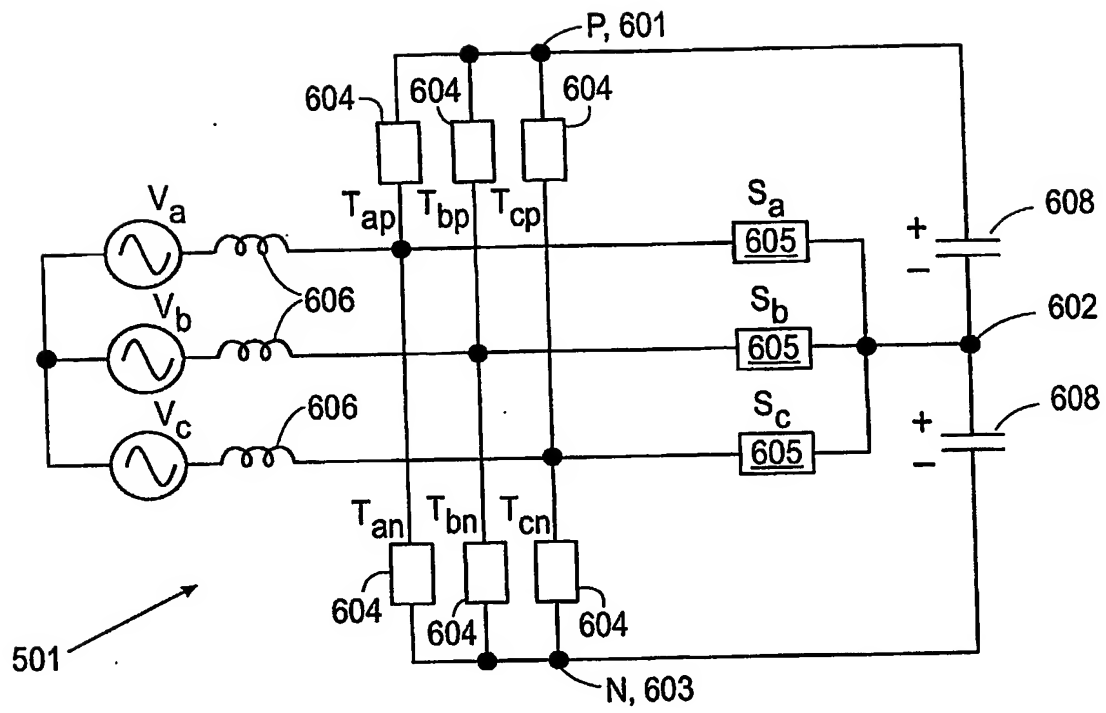


FIG. 12

13/29

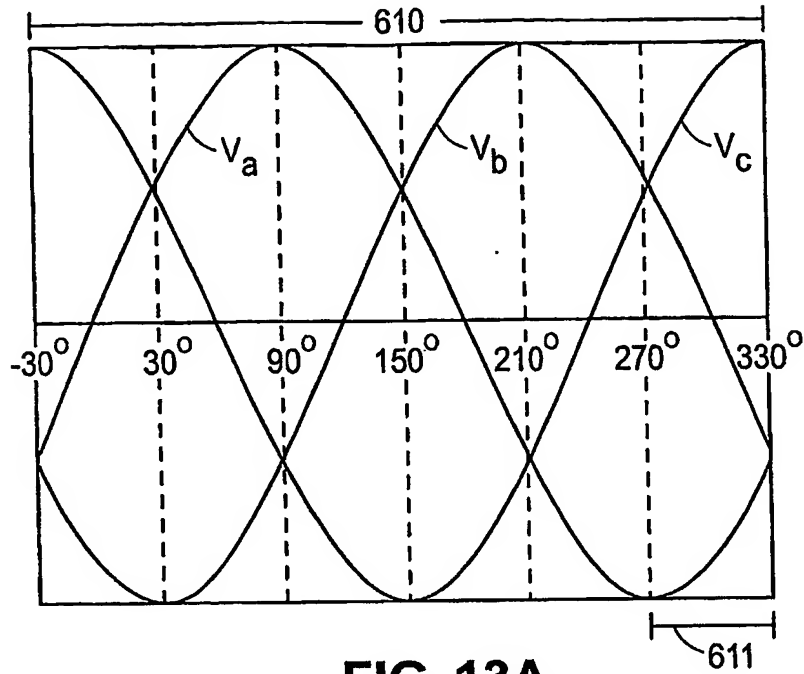


FIG. 13A

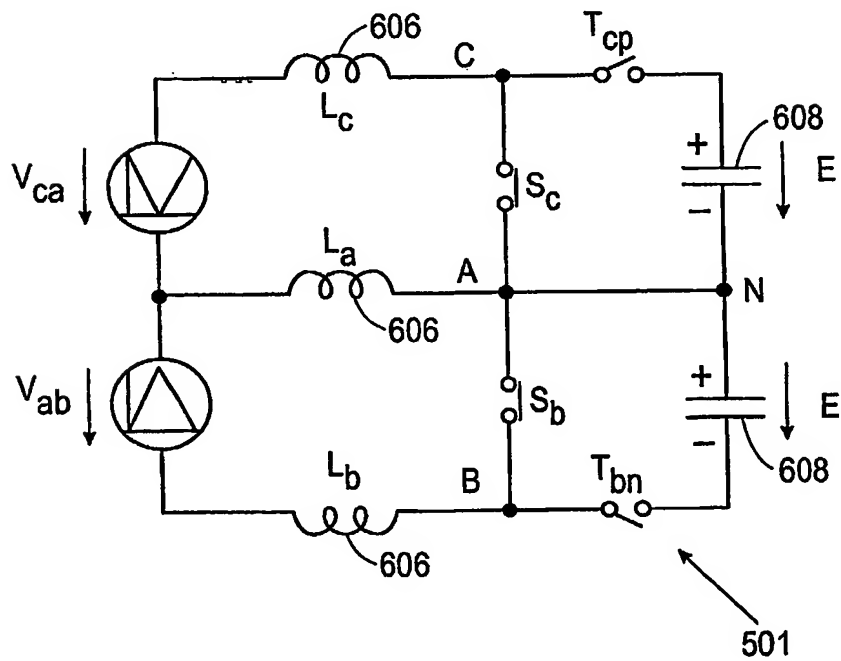


FIG. 13C

14/29

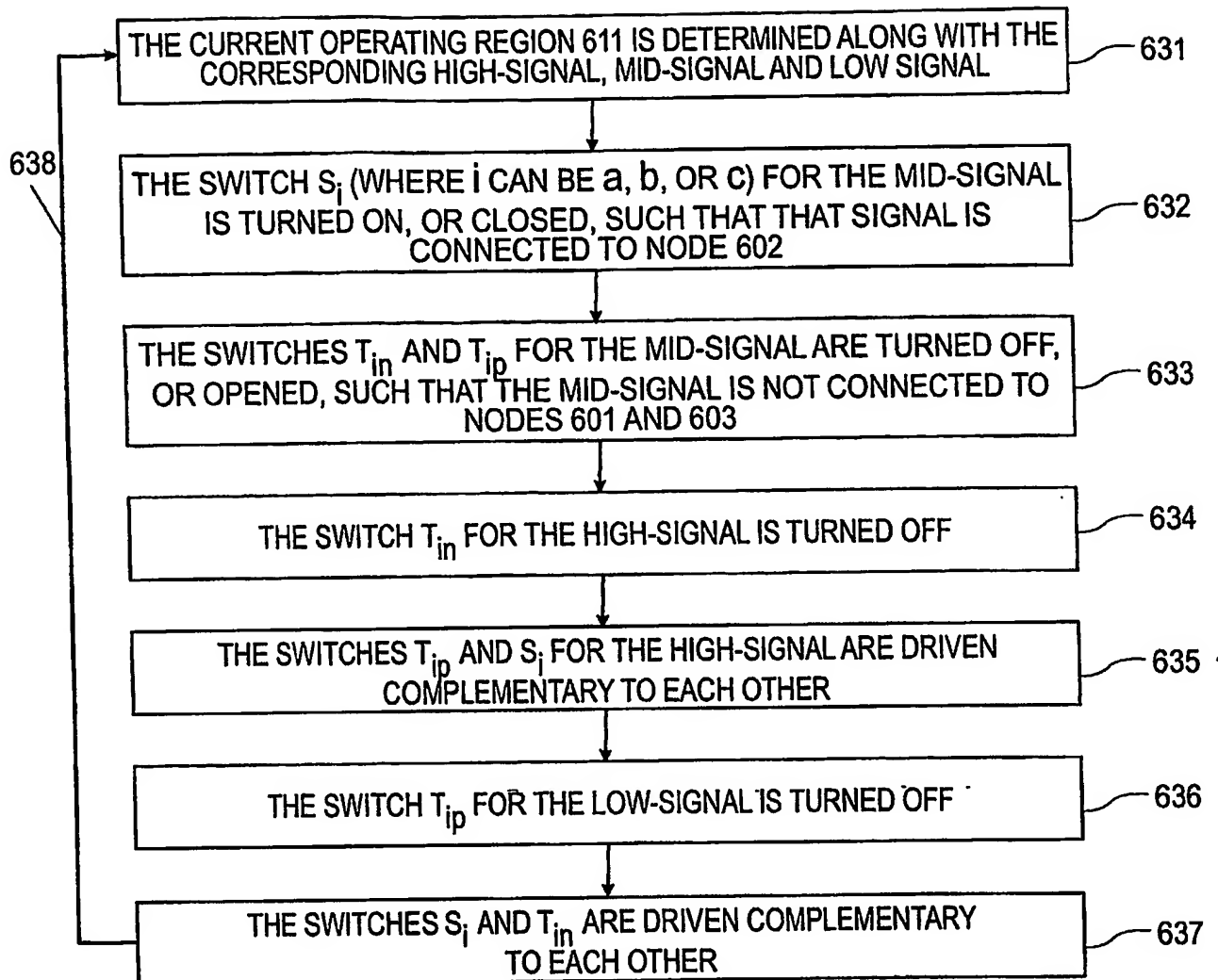


FIG. 13B

15/29

REGION 611	d_p	d_n	V_p	V_b
$-30^\circ \sim 30^\circ$	S_c	S_b	V_c	$-V_b$
$30^\circ \sim 90^\circ$	S_a	S_b	V_a	$-V_b$
$90^\circ \sim 150^\circ$	S_a	S_c	V_a	$-V_c$
$150^\circ \sim 210^\circ$	S_b	S_c	V_b	$-V_c$
$210^\circ \sim 270^\circ$	S_b	S_a	V_b	$-V_a$
$270^\circ \sim 330^\circ$	S_c	S_a	V_c	$-V_a$

FIG. 13D

REGION 611	d_p	d_n	V_p	V_n
$-30^\circ \sim 30^\circ$	T_{cn}	T_{bp}	V_c	$-V_b$
$30^\circ \sim 90^\circ$	T_{an}	T_{bp}	V_a	$-V_b$
$90^\circ \sim 150^\circ$	T_{an}	T_{cp}	V_a	$-V_c$
$150^\circ \sim 210^\circ$	T_{bn}	T_{cp}	V_b	$-V_c$
$210^\circ \sim 270^\circ$	T_{bn}	T_{ap}	V_b	$-V_a$
$270^\circ \sim 330^\circ$	T_{cn}	T_{ap}	V_c	$-V_a$

FIG. 13G

16/29

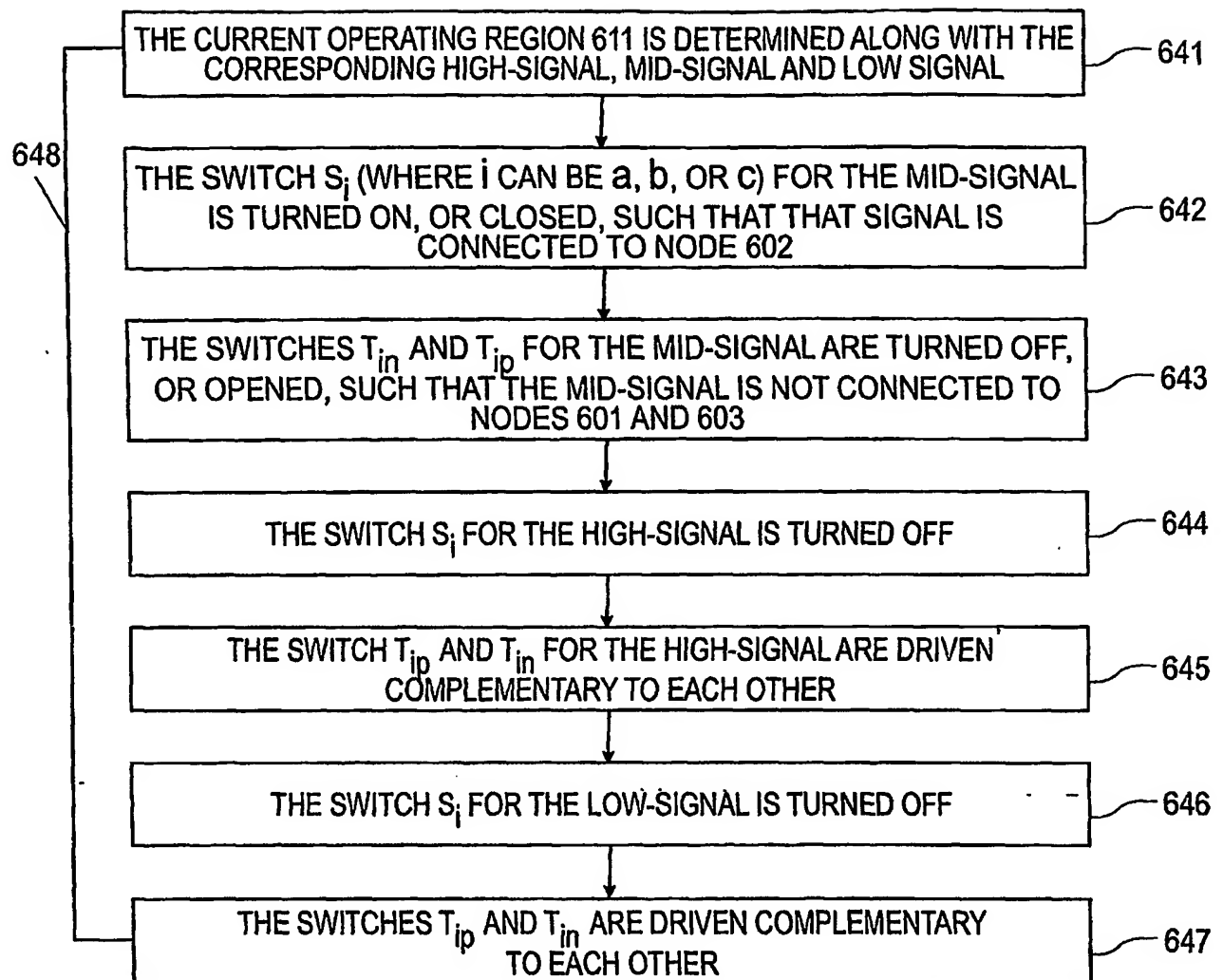


FIG. 13E

17/29

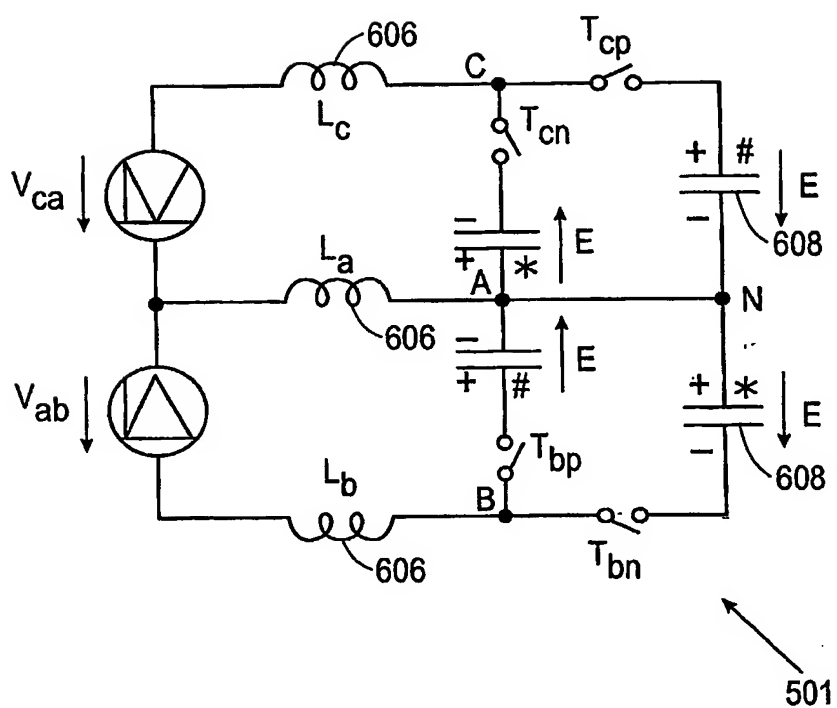


FIG. 13F

18/29

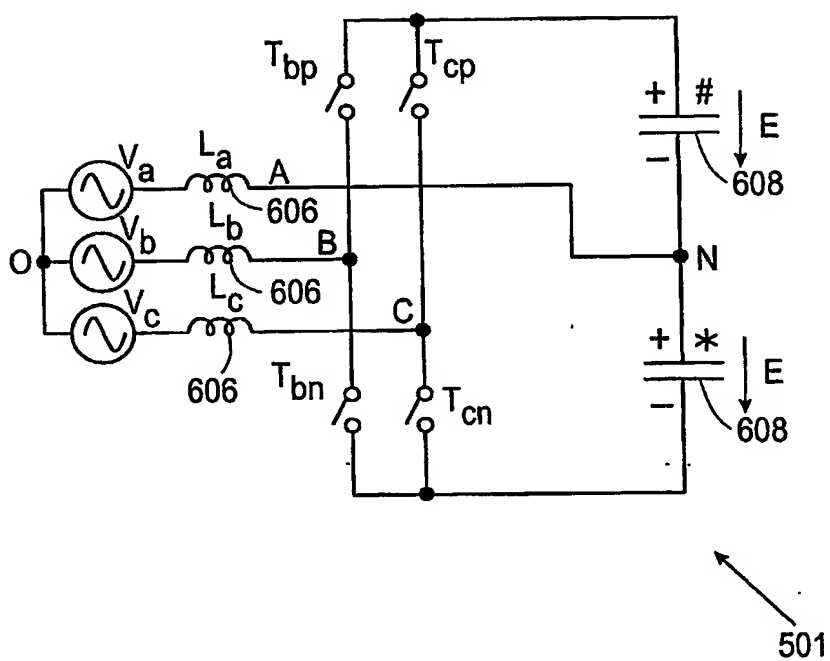


FIG. 14

19/29

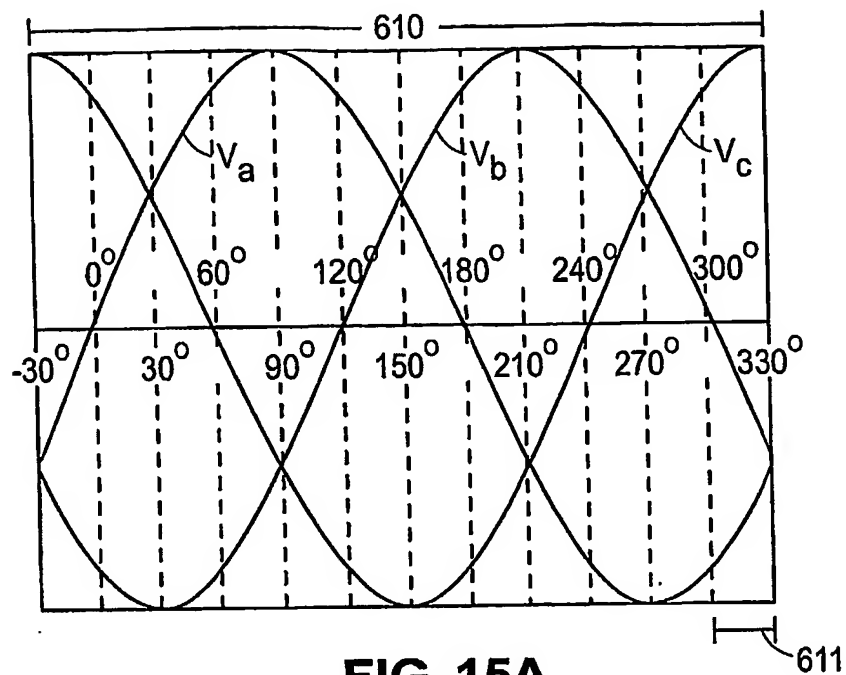


FIG. 15A

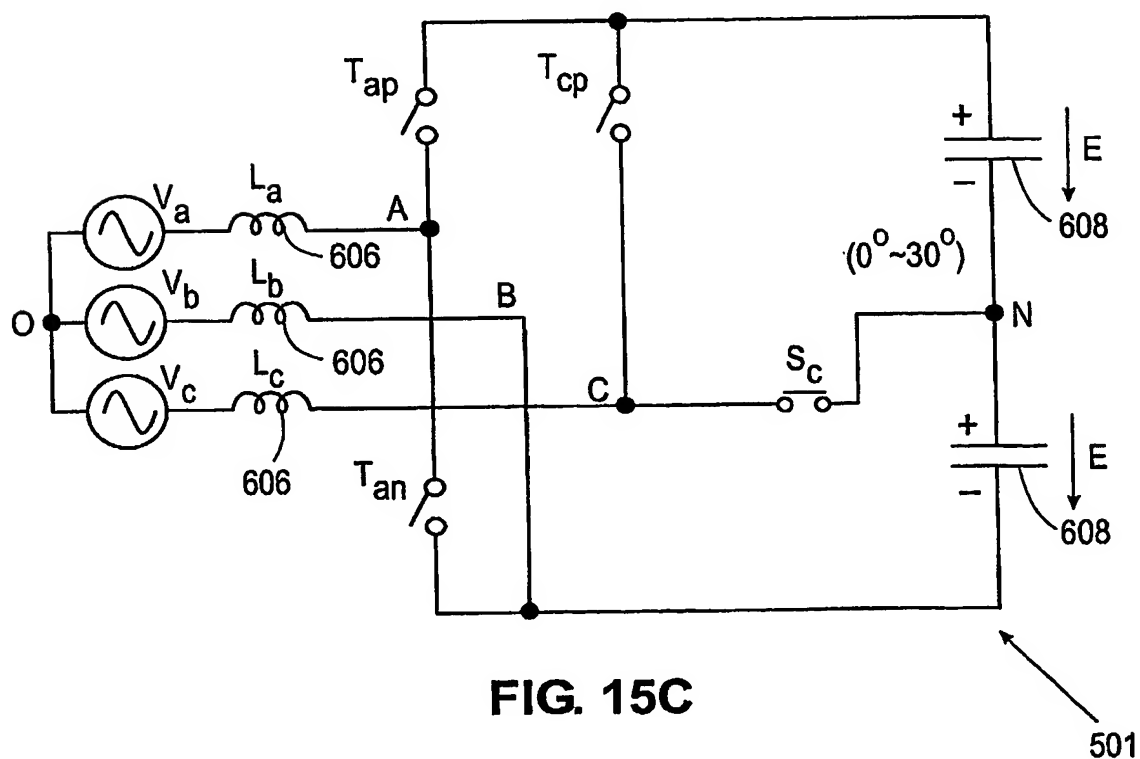


FIG. 15C

20/29

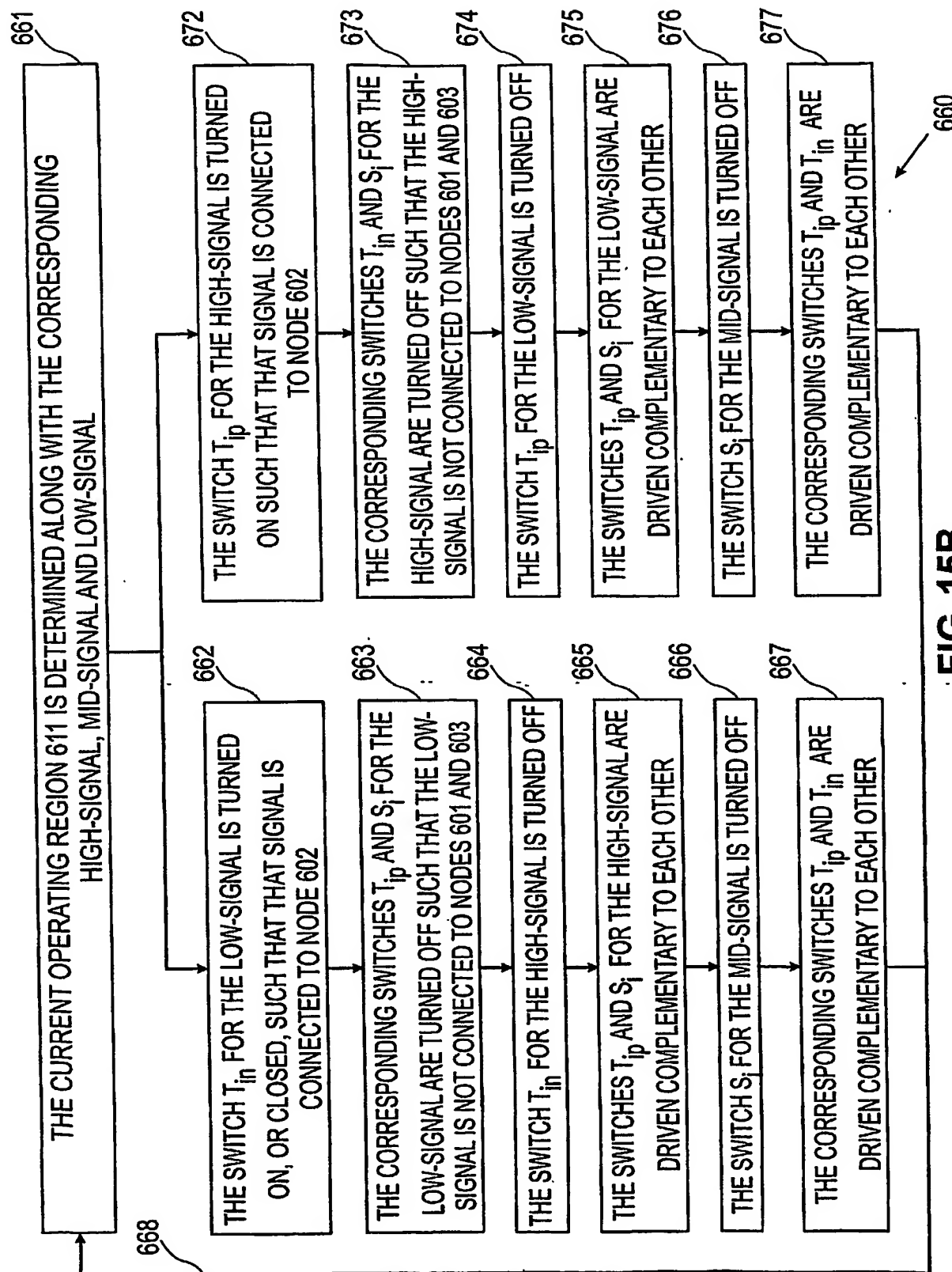


FIG. 15B

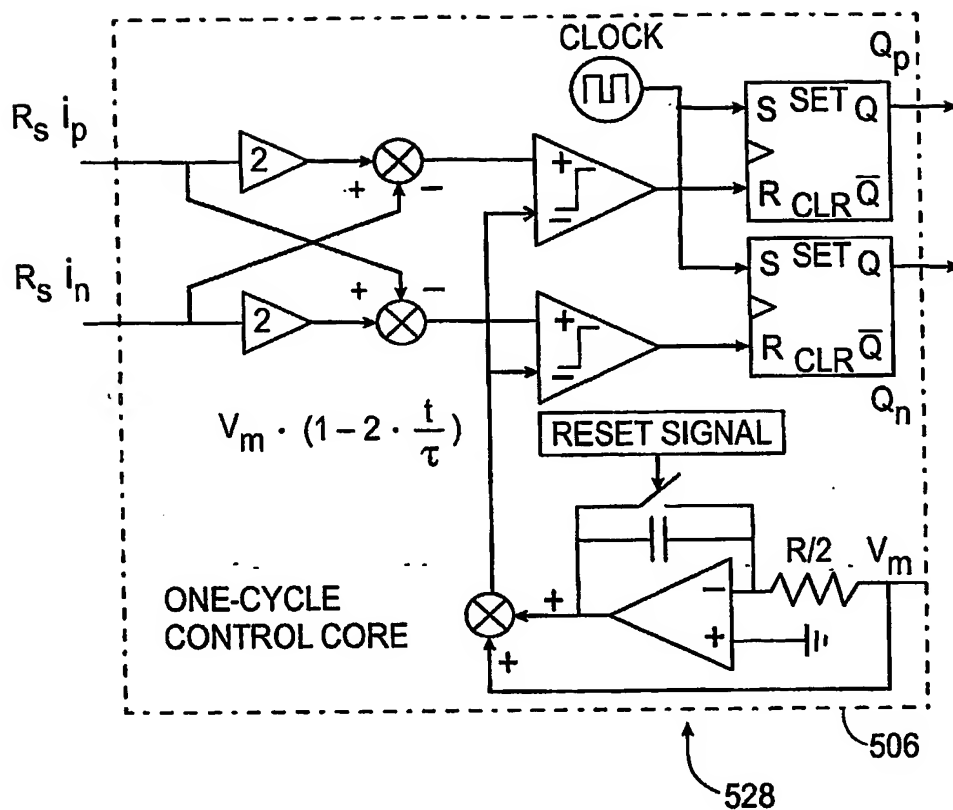
21/29

REGION 611	d_p	d_n	V_p	V_n
$-30^\circ \sim 0^\circ$	S_b	T_{ap}	$-V_b$	$-V_a$
$0^\circ \sim 30^\circ$	S_c	T_{an}	V_c	V_a
$30^\circ \sim 60^\circ$	S_a	T_{cn}	V_a	V_c
$60^\circ \sim 90^\circ$	S_b	T_{cp}	$-V_b$	$-V_c$
$90^\circ \sim 120^\circ$	S_c	T_{bp}	$-V_c$	$-V_b$
$120^\circ \sim 150^\circ$	S_a	T_{bn}	V_a	V_b
$150^\circ \sim 180^\circ$	S_b	T_{an}	V_b	V_a
$180^\circ \sim 210^\circ$	S_c	T_{ap}	$-V_c$	$-V_a$
$210^\circ \sim 240^\circ$	S_a	T_{cp}	$-V_a$	$-V_c$
$240^\circ \sim 270^\circ$	S_b	T_{cn}	V_b	V_c
$270^\circ \sim 300^\circ$	S_c	T_{bn}	V_c	V_b
$300^\circ \sim 330^\circ$	S_a	T_{bp}	$-V_a$	$-V_b$

669

FIG. 15D

22/29

**FIG. 16A**

23/29

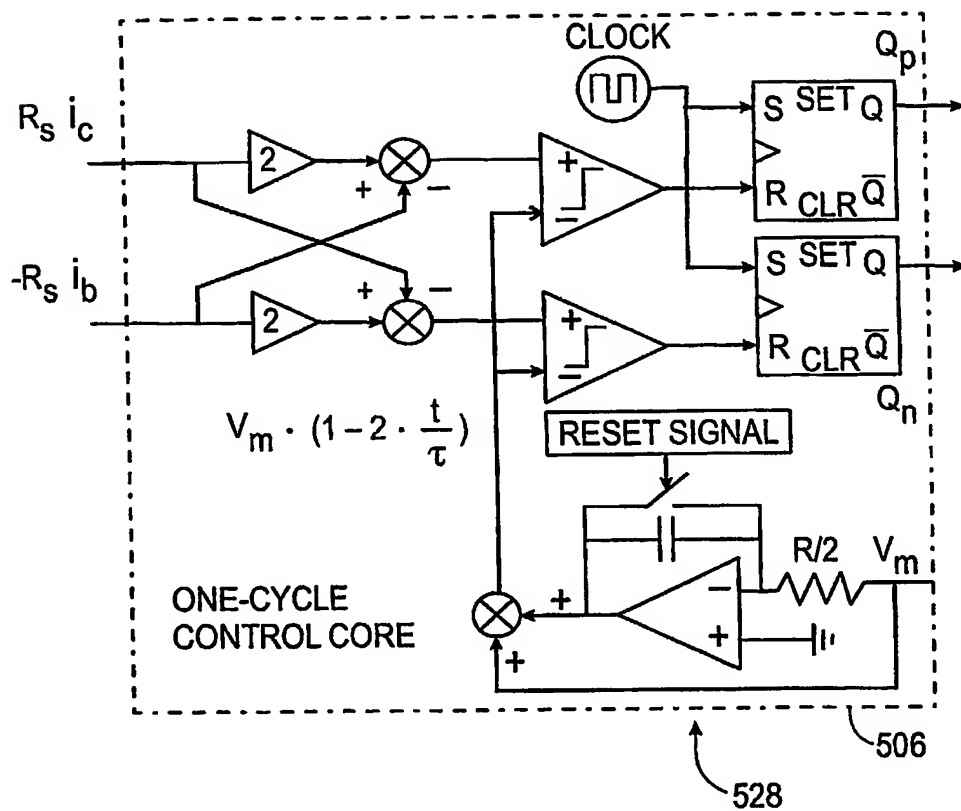


FIG. 16B

24/29

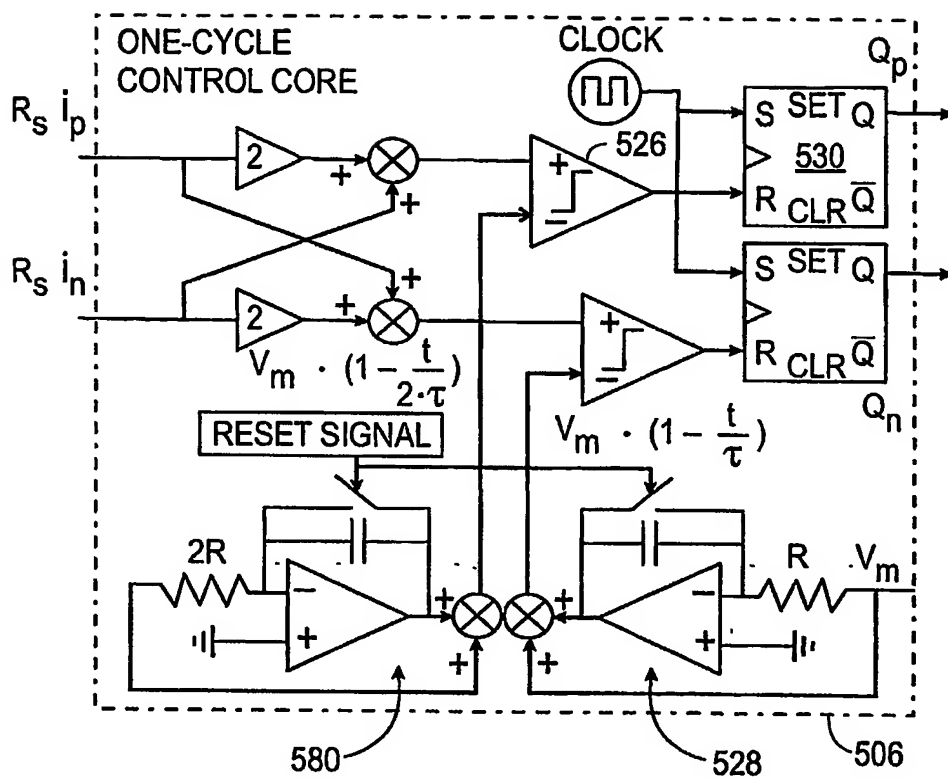


FIG. 16C

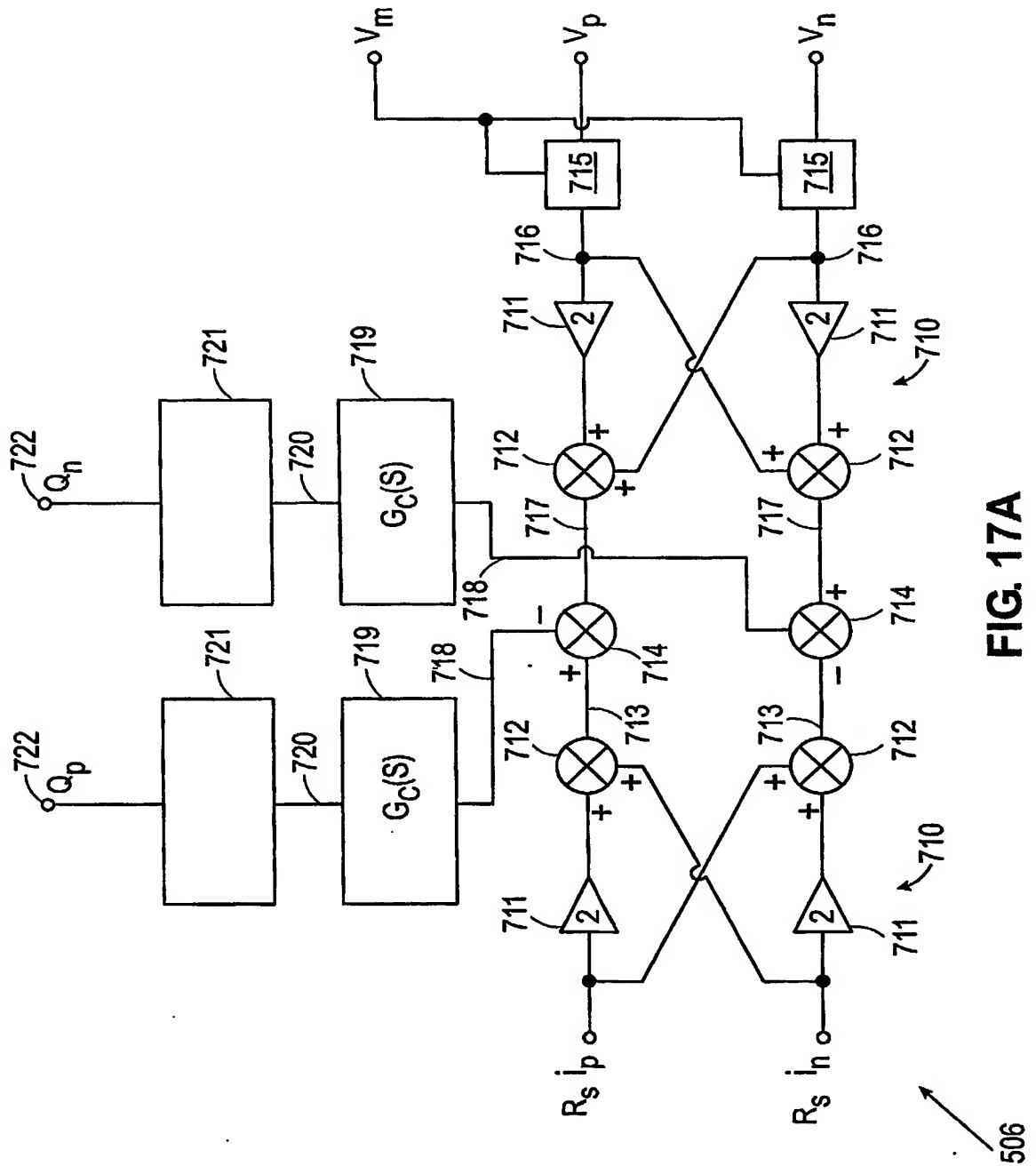


FIG. 17A

26/29

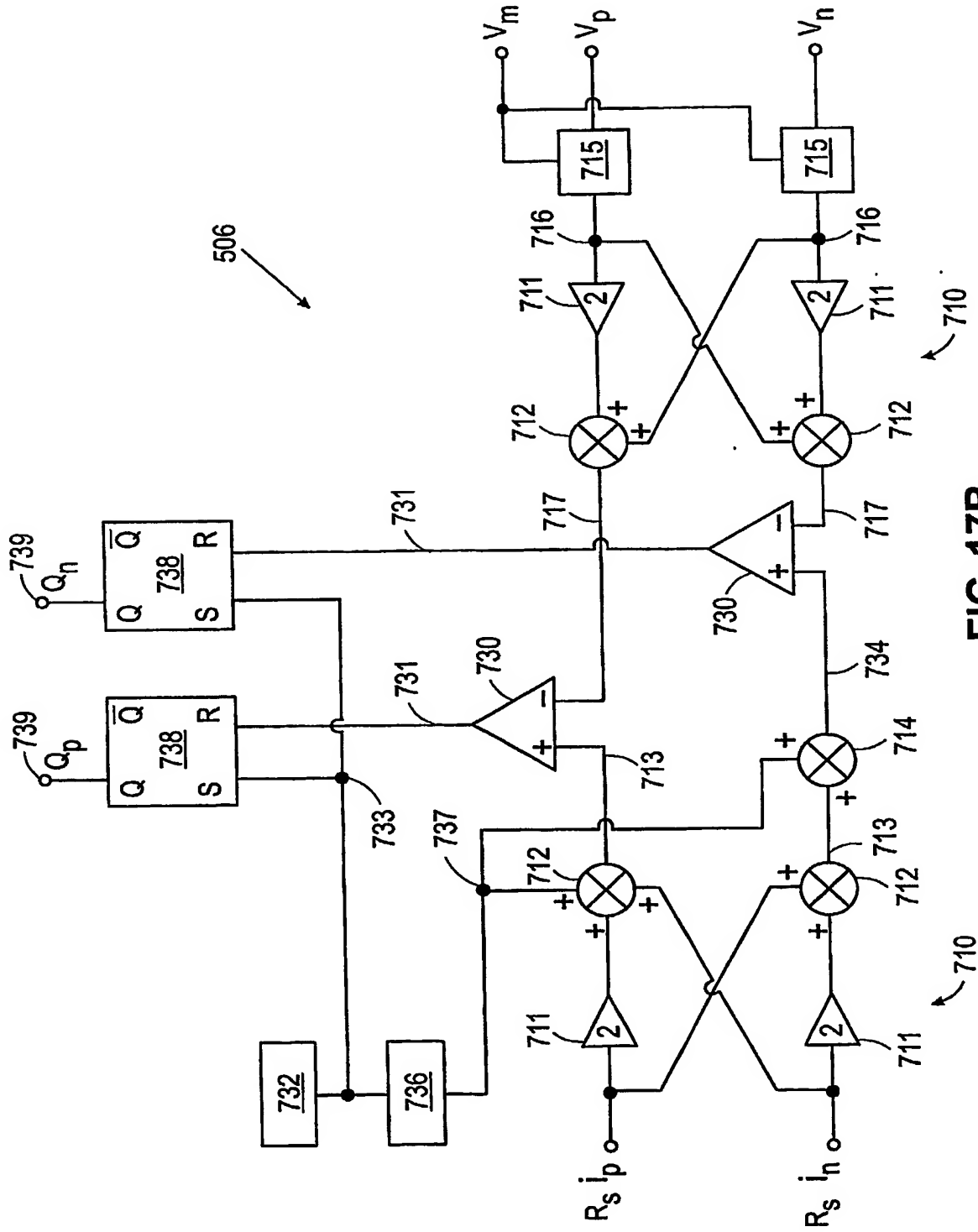


FIG. 17B

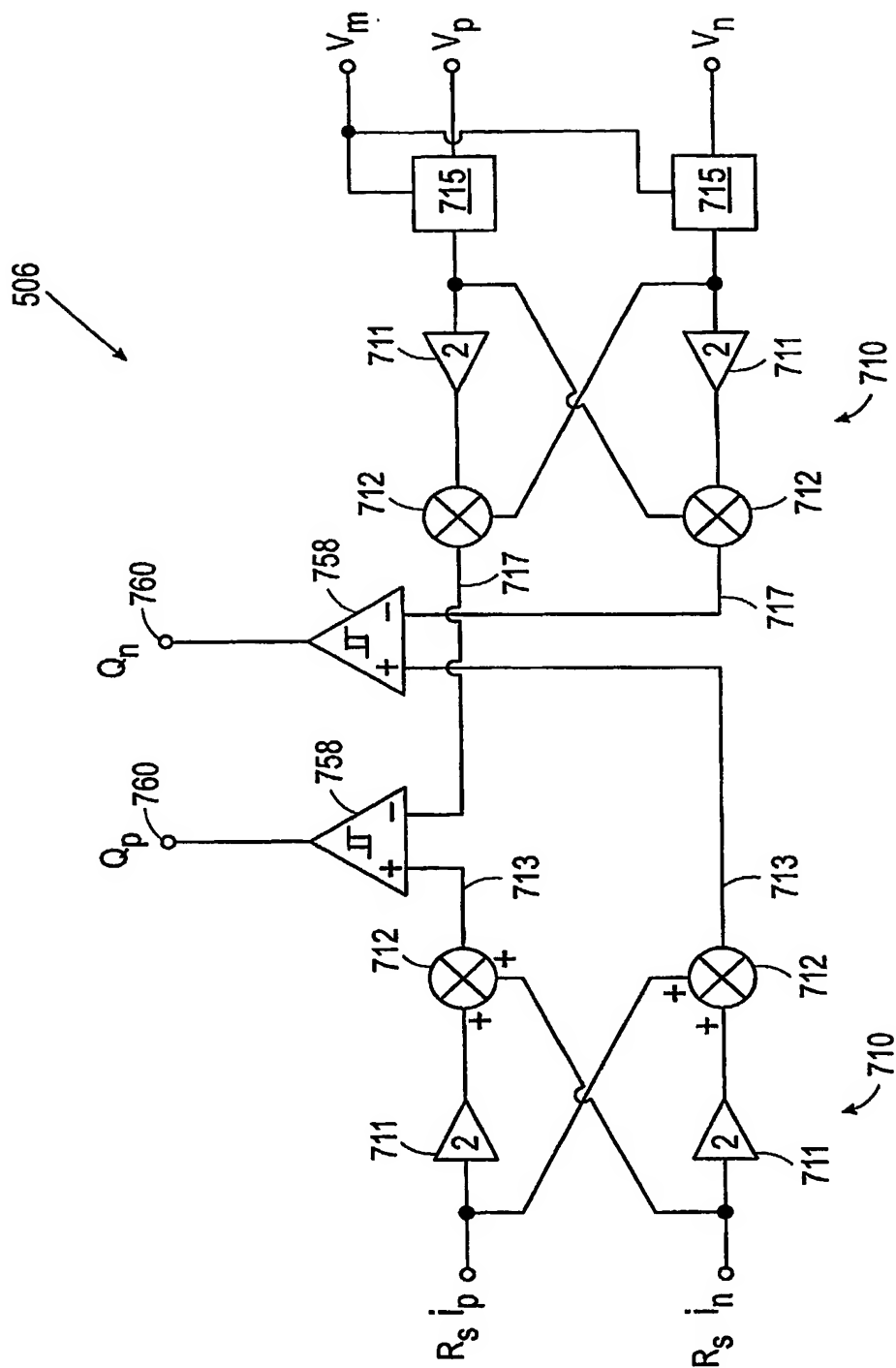


FIG. 17C

28/29

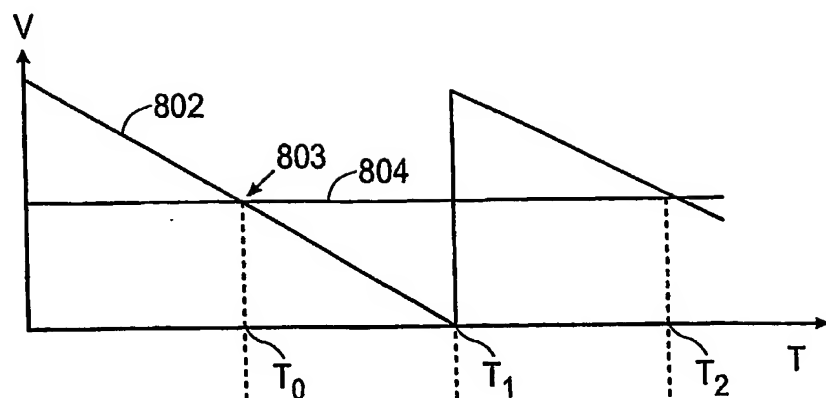


FIG. 18A

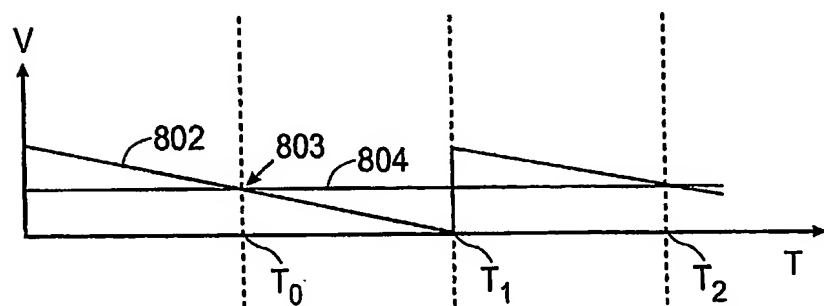


FIG. 18B

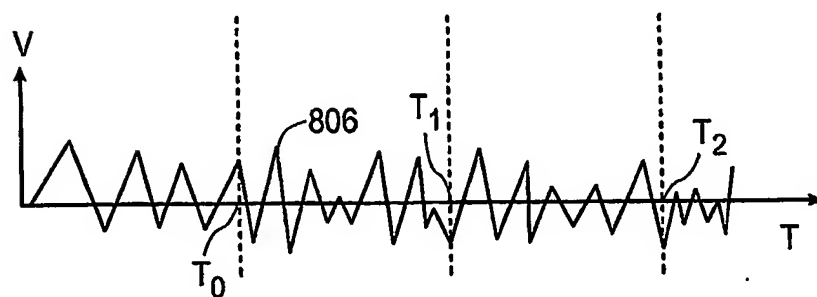


FIG. 18C

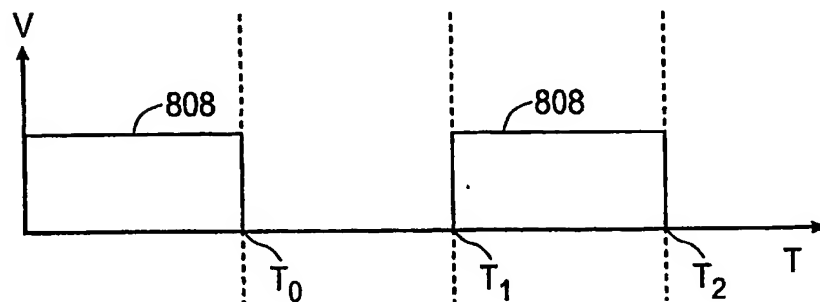


FIG. 18D

29/29

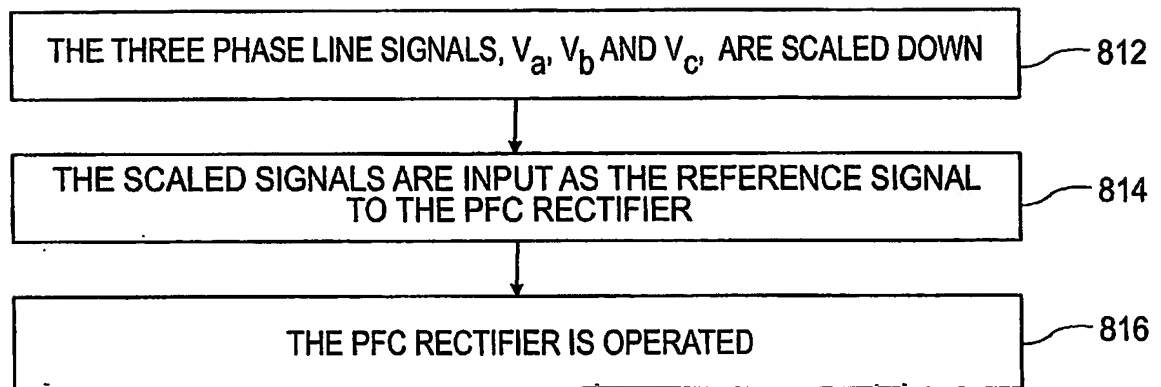


FIG. 18E